

Large Eddy Simulation of Film Cooling in Single Hole and Multi-Holes

Research Article

Yaser Taheri¹, Mehran Rajabi Zargarabadi², Mehdi Jahromi³

DOI: [10.22067/jacsm.2022.78932.1140](https://doi.org/10.22067/jacsm.2022.78932.1140)

1. Introduction

An effective method for improve the engine power and thermal efficiency of modern gas turbines is increasing the turbine inlet temperature, although, due to thermal stresses, this method may lead to the failure of high temperature components. Film cooling is a common technique of external cooling which plays an important role to prevent overheating of the hot section components. In film cooling, cooling air is ejected through the holes in the desired surface to generate a layer of insulation over the surface, which helps in maintaining the surfaces at the desired temperature.

The process of manufacturing a cylindrical hole is convenient, so these holes are widely used in film cooling techniques. But due to the jet lift off and the undesirable effects of the counter-rotating vortex pair (CRVP) of cylindrical holes especially at high blowing ratios, other shape of holes have been considered to improve the film cooling effectiveness. Many studies considered the impacts of various geometric parameters on the cooling performance of fan-shaped holes. In recent years, some researcher have developed novel ideas to optimize the film cooling effectiveness without using holes by shaped exits.

The interaction between coolant flow and hot mainstream leads to the formation of complicated vortical structures. These vortices have a significant impact on the performance of film cooling. RANS numerical approaches are fraught with modeling uncertainties and give time-averaged results, while LES can more accurately capture the flow physics. Some researchers have demonstrated that the inaccuracies inherent in turbulence models result in inaccurate predictions, the flow fields, and surface heat transfer. They showed that LES solutions predicted mean velocities and turbulent stresses better than RANS models.

The present study introduces a novel multi-hole with cylindrical shapes for increasing the film cooling effectiveness. The flow structure and adiabatic cooling effectiveness of the multi-holes were compared with a single cylindrical hole. Numerical results (RANS and LES) of the present study confirm that applying the multi-holes with shaped arrangement significantly increase the film cooling effectiveness in comparison with a single cylindrical hole.

2. Computational domain

A single cylindrical hole with 11.1 mm diameter is utilized as the reference case for further comparisons with multi cylindrical holes. The hole geometry has an injection angle and length to diameter ratio of 35° and 4.0, respectively. The computational domain of the multi-hole is obtained by replacing the single cylindrical hole with 14 cylindrical holes with the same diameter of 2.97 mm. Multi-holes was arranged in fan shaped configurations. The center-to-center spacing of adjacent holes in these configurations was set to 1.5 D (Figure 1).

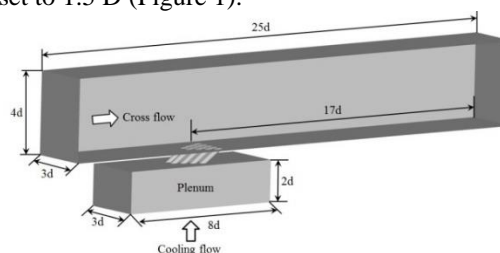


Figure 1. Computational domain of present study.

3. Large eddy simulation

The multi-block structural meshes (Figure 2) were constructed with Ansys ICEM and grid nodes considerably refined in the near-wall region to make sure that $Y^+ < 1$. The stretching factor in the wall-normal direction is 1.05. A fully developed turbulent profile (1/7th law, boundary thickness $\delta = 0.5D$) is used at the mainstream inlet. The simulation is performed at the operating parameters of the experimental study of Schmidt et al. at $M = 1.25$. The time step is set to 2×10^{-5} which provides the CFL lower than 1. Time-averaging values are calculated after a semi-steady state operating condition is reached (ten times sweep of the domain by the mainstream velocity) and continued until acceptable statistical convergence is achieved. Smagorinsky turbulent model with Smagorinsky constant $C_s = 0.1$ is used to model the large eddy subgrid.

4. Results

Figure 3 compares the centerline film cooling effectiveness of single cylindrical hole and fan-shaped multi-holes which obtained from the RANS and LES

*Manuscript received, September 25, 2022. Revised, November 8, 2022, Accepted, December 14, 2022.

¹. Department of Mechanical Engineering, Semnan University, Semnan, Iran

². Corresponding author. Department of Mechanical Engineering, Semnan University, Semnan, Iran. Email: rajabi@semnan.ac.ir

³. Malek Ashtar University of Technology, Tehran, Iran

(time-averaged) numerical studies. This figure indicates that the multi-holes have a significant impact on the film cooling. Based on the Sakai et al., as the blowing ratio increases ($M > 0.5$), the coolant jet penetrates into the mainstream, thus, the film cooling effectiveness immediately downstream of the hole exit decreases. Then, the coolant jet reattaches to the wall surface and the film cooling effectiveness recovers. This is clearly shown in Figure 3(a). It seems that by using multi-holes, this phenomena take place at farther region downstream of the holes ($X/D > 10$) and effectiveness near the hole exits is in ideal condition.

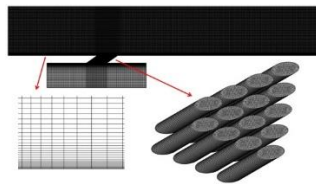


Figure 2. Computational grid for fan-shaped multi-holes in LES

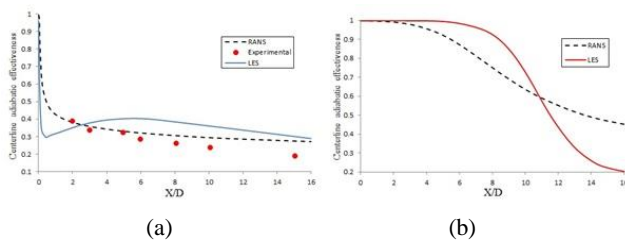


Figure 3. Centerline adiabatic effectiveness of a) single cylindrical and b) fan-shaped multi-holes

Q-criterion method is used for identifying coherent structures. Figure 4 shows the coherent structures of single cylindrical hole and fan-shaped multi-holes. The entrainment effects of hairpin vortices, especially the vortices' horizontal legs correspond to CRVPs, promotes mixture of mainstream and coolant, and deteriorates cooling performance.

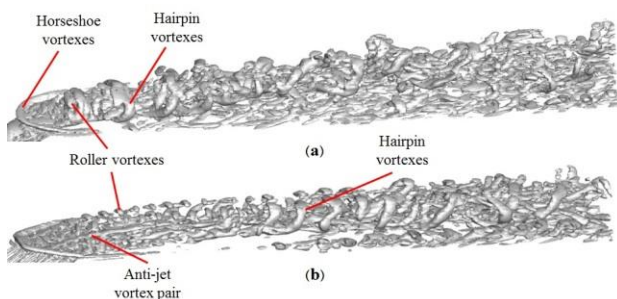


Figure 4. Coherent structures for a) single cylindrical hole, and b) fan-shaped multi-holes (Value of iso-surface: 1×10^6)

The scale of these hairpin vortices for fan-shaped multi-holes is smaller than that for single hole and formation of them take place in farther downstream region of the hole. Because of the shear effect in the boundary layer, the roller vortices gradually grow horizontal legs, and eventually evolve into hairpin vortices. This evolve for single hole occurs immediately near the hole exit, but for multi-holes it goes to farther downstream region of the hole exits.

The formation of anti-CRVP is the most difference between the coherent structures of two cases of the study. The rotation direction of these vortex pair is contrary to that of jet vortex pair, so, is named anti-jet vortex pair. The entrainment effect of anti-CRVPs forms a low temperature region below the vortices which leads to increasing the film cooling effectiveness.

Figure 5 shows instantaneous distribution of film cooling impact on the test surface. The entrainment effect of horseshoe vortices results in the formation of high-effectiveness leg pair wrapped around the round hole. At downstream of the jet, reattachment of jet is occur at $X/D=2 \sim 3$. Due to the jet lift-off and mixing the coolant with hot mainstream, the values of cooling effectiveness in both streamwise and spanwise directions is very low for the single hole. When the multi-holes are used, the mixing of coolant and mainstream air decreases and consequently the lateral and streamwise effectiveness increases. As shown in Figure 5, the coverage of coolant for fan-shaped multi-holes is better in streamwise and spanwise directions, especially at near of the hole exits.

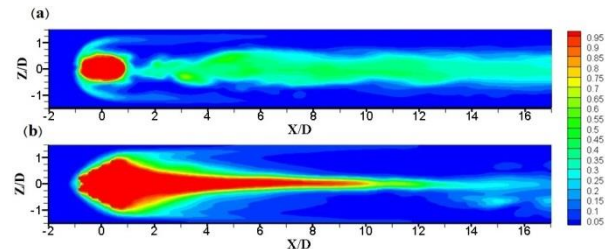


Figure 5. Instantaneous distribution of film cooling effectiveness on the test surface for a) single cylindrical hole, and b) fan-shaped multi-holes

5. Conclusion

Numerical investigation with RANS and large eddy simulations are performed to enhance the cooling effectiveness over a flat plate by applying shaped multi-holes. A single cylindrical film cooling hole with 11.1 mm diameter was replaced with 14 small holes with 2.97 mm diameter. The multi-holes (14 small holes) were arranged in fan-shaped configuration. Large eddy simulation is performed by using Smagorinsky turbulent model at $M=1.25$ to investigate the vortex structures. It was observed that replacing a single hole with the multi-hole leads to a considerable increase in film cooling effectiveness in both axial and lateral directions.

This study showed that the multi-hole configurations have a notable impact on the flow structure and heat transfer. Roller vortices or heads of hairpin vortices which promote the mixture between mainstream and coolant, in single cylindrical hole are stronger than that for fan-shaped multi-holes. Moreover, the scale of hairpin vortices for fan-shaped multi-holes is smaller than that for single hole and formation of them occurs in farther downstream region of the hole.



شبیه‌سازی گردابه‌های بزرگ جریان خنک‌کاری لایه‌ای تک مجرا و مجموعه سوراخ خنک‌کاری*

مقاله پژوهشی

ياسر طاهري^(۱) مهران رجبی زرگرآبادی^(۲) مهدی جهرمی^(۳)

DOI: 10.22067/jacsm.2022.78932.1140

چکیده در این مطالعه جریان خنک‌کاری لایه‌ای بر روی یک صفحه تخت به منظور بررسی اثرات به‌کارگیری مجموعه سوراخ بر اثربخشی خنک‌کاری لایه‌ای با استفاده از رهیافت RANS و LES شبیه‌سازی شده است. هندسه‌های مورد مطالعه شامل تک سوراخ استوانه‌ای با قطر 11.1 mm و یک مجموعه سوراخ با ۱۴ سوراخ استوانه‌ای 2.97 mm میلی‌متری می‌باشند، به طوری که سطح مقطع خروجی لوله خنک‌کاری در هر دو حالت یکسان است. این مجموعه سوراخ به شکل دوزنقه‌ای چیدمان شده است. شبیه‌سازی عددی در نسبت چگالی $1/6$ ، نسبت طول به قطر 4 ، زاویه 35° درجه و نسبت دمش $1/25$ صورت گرفته است. نتایج به دست آمده نشان می‌دهند که جایگزینی یک تک سوراخ با مجموعه سوراخ شکل داده شده، منجر به افزایش قابل توجهی در اثربخشی خنک‌کاری لایه‌ای در هر دو جهت طولی و عرضی می‌گردد، به طوری که افزایش در حدود ۹۴ درصدی در میانگین سطحی اثربخشی خنک‌کاری لایه‌ای را در پی دارد. این افزایش در پی تغییر در ساختار گردابه‌ها حاصل می‌گردد. در مجموعه سوراخ خنک‌کاری، مقیاس گردابه‌های سنجاقی شکل کوچکتر از گردابه‌های تک سوراخ است و شکل-گیری آنها در مکانی دورتر از سوراخ خنک‌کاری صورت می‌گیرد. در ساختار مجموعه سوراخ جفت گردابه‌های *anti-jet* تشکیل می‌شوند که جهت چرخش این گردابه‌ها بر خلاف جهت CRVP است.

واژه‌های کلیدی خنک‌کاری لایه‌ای، مجموعه سوراخ، شبیه‌سازی گردابه‌های بزرگ، ساختارهای منسجم.

Large Eddy Simulation of Film Cooling in Single Hole and Multi-holes

Yaser Taheri

Mehran Rajabi Zargarabadi

Mehdi Jahromi

Abstract In this research, numerical studies have been performed by Reynolds averaged Navier Stokes (RANS) and large eddy simulations (LES) to investigate the effect of a novel film cooling design multi-holes on the film cooling effectiveness over a flat surface. A single cylindrical hole with 11.1 mm diameter and multi-holes (14 holes with a diameter of 2.97 mm) with fan configuration are considered for simulations. Numerical simulations are performed at a fixed density ratio of 1.6, length-to-diameter of 4, an inclined angle of 35° and blowing ratio 1.25. The results of the present study show that replacing a single hole with multi-holes results in a considerable increase in film cooling effectiveness in both axial and lateral directions, so that leads to an increase of about 94 percent in the area-averaged film cooling effectiveness. In the fan-shaped configuration, the scale of hairpin vortices is smaller than the single cylindrical hole, and forming of the vortices occurs in farther regions downstream of the hole. A pair of anti-jet vortices is formed in the structure of the multi-holes and the rotation direction of these vortices is opposite to the CRVP direction.

Keywords film cooling, multi-holes, large eddy simulation, coherent structures.

*تاریخ دریافت مقاله ۱۴۰۱/۷/۳ و تاریخ پذیرش آن ۱۴۰۱/۹/۲۳ می‌باشد.

(۱) دانشجوی دکترا، دانشکده مهندسی مکانیک، دانشگاه سمنان.

(۲) نویسنده مسئول: دانشیار، دانشکده مهندسی مکانیک، دانشگاه سمنان

(۳) استادیار، دانشگاه صنعتی مالک اشتر.

Email: rajabi@semnan.ac.ir

مقدمه

خنک‌کاری لایه‌ای یکی از تکنیک‌های مفیدی است که به طور گسترده در ساخت توربین‌های گازی مورد استفاده قرار می‌گیرد و به توربین‌های گازی امروزی اجازه می‌دهد تا راندمانی بالا و متعاقب آن عمر طولانیتر را به دست آورند. در خنک‌کاری لایه-ای، هوای خنک از طریق سوراخ‌های خنک‌کاری بر روی سطح مورد نظر تزریق و یک لایه نازک نسبتاً خنک بر روی سطح تشکیل می‌دهد که منجر به محافظت مؤثر سطح جامد از جریان اصلی دما بالا می‌گردد [1]. از آنجایی که سیال خنک‌کاری از کمپرسور استخراج می‌شود، استفاده از کمترین مقدار سیال خنک‌کاری برای محافظت سطح در برابر دمای جریان اصلی و دستیابی به راندمان بالای چرخه توربین گازی مورد توجه طراحان می‌باشد.

سوراخ استوانه‌ای ساده‌ترین هندسه سوراخ خنک‌کاری است که به طور معمول دارای زاویه‌ای در حدود ۳۰ تا ۳۵ درجه می‌باشند [2]. تحقیقات زیادی به منظور بررسی اثر پارامترهای هندسی بر عملکرد خنک‌کاری سوراخ‌های استوانه-ای صورت گرفته است [3-5]. با توجه به بلند شدن جت و اثرات نامطلوب جفت گردابه‌های ضد چرخش (CRVP) در سوراخ‌های استوانه‌ای به خصوص در نسبت دمش‌های بالا، هندسه‌های جایگزین به منظور اثربخشی بهتر در پایین دست جریان در نظر گرفته شده‌اند. از جمله می‌توان به سوراخ‌های گسترش یافته [6,7] و سوراخ‌های با زاویه ترکیبی [8,9] اشاره نمود. جون کیم و وانگ کیم نیز [10] یک سوراخ استوانه‌ای با ورودی همگرا را شبیه‌سازی و پارامترهای مؤثر بر عملکرد آن را مورد بررسی قرار دادند. در این زمینه الی و جویران [11] به مطالعه عددی طرح جدیدی از خنک‌کاری لایه‌ای با استفاده از سوراخ‌های متقارن وابسته پرداختند. نتایج آنها نشان می‌دهد که استفاده از این سوراخ‌ها به طور قابل توجهی جفت ورتکس اولیه گردابه‌ای را کاهش می‌دهد و همچنین بهبود قابل توجهی در اثربخشی خنک‌کاری در تمامی نسبت‌های دمش ایجاد می‌کنند. در بسیاری از مطالعات، تأثیر پارامترهای هندسی مختلف بر عملکرد سوراخ‌های فن شکل ارائه شده است [12-15]. نتایج این مطالعات نشان می‌دهد که به‌کارگیری این نوع سوراخ با ایجاد تغییر در ساختار گردابه‌ها نسبت به تک سوراخ استوانه‌ای، با کاهش ضخامت لایه مرزی موجب افزایش اثربخشی می-

گردند. اما نکته قابل توجه این است که اگرچه سوراخ‌های با هندسه‌های مختلف در خروجی، اثربخشی بالاتری را نسبت به سوراخ‌های استوانه‌ای معمول فراهم می‌کنند، اما سوراخ‌های شکل‌دار در مقایسه با سوراخ استوانه‌ای گران‌قیمت بوده و ساخت آنها دشوار است [16]. در سال‌های اخیر، محققان برای بهینه‌سازی اثربخشی خنک‌کاری لایه‌ای بدون از سوراخ‌های شکل‌دار در خروجی نتایج جدیدی را ارائه نموده‌اند. از جمله این موارد می‌توان به به‌کارگیری پله با هندسه‌های مختلف در بالادست جریان [16,17]، استفاده از ریب با زوایای مختلف در درون سوراخ خنک‌کاری [18]، ایجاد سوراخ‌های anti-vortex [19]، استفاده از سوراخ‌های با پاشش معکوس [20] و سوراخ سه شاخه‌ای [21] اشاره نمود. بنابراین یافتن طرح‌های خنک-کاری جدید با استفاده از هندسه ساده برای سوراخ‌های استوانه‌ای متداول به منظور دستیابی به اثربخشی خنک‌کاری مشابه و حتی بهتر از سوراخ‌های شکل‌دار می‌تواند ارزشمند باشد.

فعل و انفعال بین جت و جریان اصلی منجر به تشکیل ساختارهای پیچیده گردابه‌ای می‌شود که این ساختارهای گردابه‌ای تأثیر بسیاری در عملکرد خنک‌کاری لایه‌ای دارند. رویکردهای مبتنی بر RANS مملو از عدم قطعیت‌های مدل‌سازی و داده‌هایی با متوسط‌گیری زمانی را ارائه می‌دهند و قادر به ضبط پدیده‌های وابسته به زمان نظیر شکست گردابه یا جدایش دوره‌ای ساختارهای جریان نیستند. آچاریا و همکاران [22] نشان دادند که عدم دقت در مدل‌های آشفتگی، منجر به پیش-بینی‌های نادرست در حوزه جریان و انتقال حرارت سطح می-شود. همچنین نشان دادند که راه‌حلهای LES میانگین سرعت و استرس‌های آشفتگی را بهتر از مدل‌های RANS پیش‌بینی کرده است. از این رو برای بررسی تکامل گردابه‌ها در خنک‌کاری لایه‌ای، از شبیه‌سازی گردابه‌های بزرگ استفاده شده است [23-25].

تیاگی و آچاریا [26] با به‌کارگیری LES به بررسی جریان یک ردیف سوراخ استوانه‌ای زاویه‌دار در نسبت دمش ۰/۵ و ۱ پرداختند. همچنین ساکای و همکاران [27] با شبیه‌سازی جریان جت گرد شیب‌دار در نسبت دمش‌های مختلف با استفاده از LES دریافتند که CRVP‌های موجود که با متوسط‌گیری زمانی حوزه جریان قابل مشاهده می‌باشند، در واقع از ساختارهای مختلف

$$\frac{\partial U_i}{\partial x_i} = 0 \quad (۱)$$

$$\rho U_i \frac{\partial U_i}{\partial x_i} = -\frac{\partial p}{\partial x_j} + \mu \frac{\partial^2 \theta}{\partial x_i \partial x_i} - \frac{\partial}{\partial x_i} (\rho \bar{u}_i \bar{u}_j) \quad (۲)$$

$$\rho \bar{u}_i \bar{u}_j = \mu_t \left(\frac{\partial u_i}{\partial x_j} + \frac{\partial u_j}{\partial x_i} \right) - \frac{2}{3} \left(\rho k + \mu_t \frac{\partial u_k}{\partial x_k} \right) \delta_{ij} \quad (۳)$$

$$U_i \frac{\partial \theta}{\partial x_i} = \alpha \frac{\partial^2 \theta}{\partial x_i \partial x_i} - \frac{\partial}{\partial x_i} (\bar{u}_i \theta) \quad (۴)$$

در این مطالعه برای مدل‌سازی تانسور تنش رینولدزی در $(\bar{u}_i \bar{u}_j)$ از $k-\epsilon$ با realizable enhanced wall treatment استفاده شده است [33]:

$$\frac{\partial}{\partial x_j} (\rho k u_j) = \frac{\partial}{\partial x_j} \left[\left(\mu + \frac{\mu_t}{\sigma_k} \right) \frac{\partial k}{\partial x_j} \right] + G_k + G_b - \rho \epsilon - Y_M + S_k \quad (۵)$$

$$\frac{\partial}{\partial x_j} (\rho \epsilon u_j) = \frac{\partial}{\partial x_j} \left[\left(\mu + \frac{\mu_t}{\sigma_\epsilon} \right) \frac{\partial \epsilon}{\partial x_j} \right] + \rho C_{1\epsilon} S_\epsilon - \rho C_{2\epsilon} \frac{\epsilon^2}{k + \sqrt{\nu \epsilon}} + C_{1\epsilon} \frac{\epsilon}{k} C_{3\epsilon} G_b + S_\epsilon \quad (۶)$$

μ_t به عنوان تابعی از k و ϵ به صورت زیر محاسبه می‌شود:

$$\mu_t = \rho C_\mu \frac{k^2}{\epsilon} \quad (۷)$$

که در آن C_μ مقدار ثابتی نیست. جزئیات مربوط به معادلات فوق برای انرژی جنبشی آشفتگی (k)، نرخ اتلاف آن (ϵ)، ثابتهای مدل و تعریف C_μ را می‌توان در مراجع [32,33] مشاهده نمود.

مدل LES

LES مبتنی بر فیلترگیری مکانی میدان جریان می‌باشد. ساختارهایی از میدان جریان، که بزرگتر از پهنای فیلتر می‌باشند به صورت مستقیم از معادلات ناویراستوکس محاسبه می‌گردند، در حالی که سایر ساختارهای جریانی کوچکتر از پهنای فیلتر، به عبارت دیگر مقیاس‌های زیر شبکه، مدل‌سازی می‌گردند. معادلات حاکم در LES عبارتند از [32]:

$$\frac{\partial \rho}{\partial t} + \frac{\partial}{\partial x_i} (\rho \bar{u}_i) = 0 \quad (۸)$$

گردابه‌ای سرچشمه می‌گیرند که این ساختارها با نسبت دم‌ش تغییر می‌کنند. به‌کارگیری سوراخ‌های شکل‌دار و افزایش اثربخشی آدیاباتیک این نوع سوراخها نسبت به سوراخ‌های استوانه‌ای متداول، محققان را به بررسی دقیق‌تر رفتار گردابه‌های حاصل از این نوع سوراخ‌ها با استفاده از رهیافت LES ترغیب نموده است [28,29]. لیدوم و آچاریا [30] فیزیک جریان برخاسته از سوراخهای گسترش‌یافته جانبی و کنسول را با سوراخ استوانه‌ای مقایسه نمودند و دریافتند که شکل سوراخ خنک‌کاری نقش مهمی در توزیع و پوشش سیال خنک‌کاری دارد. وانگ و همکاران [31] رفتار گردابه‌های سوراخ دوزنقه‌ای شکل را با LES مطالعه نموده و دریافتند که سوراخ‌های دوزنقه‌ای به دلیل سرعت پایین جت، گردابه‌های غلتکی و نعل اسبی ضعیفتری را نسبت به سوراخ‌های گرد از خود نشان می‌دهند.

هدف اصلی در این مطالعه افزایش اثربخشی خنک‌کاری با به‌کارگیری ساختار ساده سوراخ استوانه‌ای و عدم مواجهه با مشکلات موجود در فرایند ساخت سوراخ‌های شکل‌دار می‌باشد. از این رو با معرفی راهکار جدیدی به جای استفاده از تک سوراخ استوانه‌ای از مجموعه‌ای از سوراخ‌های استوانه‌ای که با چیدمان دوزنقه‌ای در کنار یکدیگر قرار گرفته، استفاده شده است. علاوه بر شبیه‌سازی با رهیافت RANS، به منظور شبیه‌سازی دقیق‌تر و درک بهتر رفتار جریان خنک‌کاری لایه‌ای حاصل از تک سوراخ و مجموعه سوراخ خنک‌کاری، رهیافت LES نیز مورد استفاده قرار گرفته است. نتایج شبیه‌سازی RANS و LES مطالعه حاضر تأیید می‌کند که استفاده از چندین سوراخ با چیدمان شکل‌دار شده به طور قابل توجهی باعث افزایش اثربخشی خنک‌کاری لایه‌ای در مقایسه با تک سوراخ استوانه‌ای می‌شود.

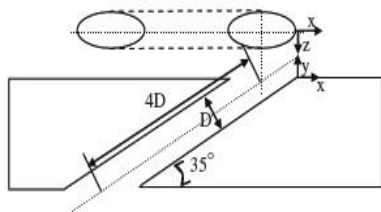
مدل RANS

معادلات ناویراستوکس متوسط‌گیری‌شده رینولدزی (RANS) پایا با استفاده از یک روش حجم محدود مبتنی بر المان و با گسسته‌سازی مکانی معادلات حاکم حل می‌گردند. مدل ریاضی خنک‌کاری لایه‌ای شامل معادلات پیوستگی، مومنتوم و انرژی در حالت پایا عبارتند از [32]:

که G_S ثابت اسمانگورینسکی و مقدار 0.1 در محاسبات لحاظ شده است و Δ طول مشخصه است.

دامنه محاسباتی و شرایط مرزی

دامنه محاسباتی در این مطالعه به منظور اعتبارسنجی نتایج حاصل از تک سوراخ استوانه‌ای بر پایه هندسه مطالعه تجربی اشمیت و همکاران [35] می‌باشد که بر روی یک صفحه تخت با یک ردیف سوراخ استوانه‌ای با قطر $11/1$ میلی‌متر انجام گرفته است (شکل ۱). دامنه محاسباتی برای هندسه مورد نظر شامل پلنوم، و داکت دربرگیرنده صفحه تست می‌باشد. به منظور افزایش دقت در پیش‌بینی نتایج مربوط به مدل‌سازی عددی، در نظر گرفتن منبع تغذیه پلنوم در دامنه محاسباتی امری ضروری است و انجام این کار موجب بهبود پیش‌بینی اثربخشی خنک‌کاری لایه‌ای مخصوصاً در نسبت‌های دمش پایین و در مقادیر کم نسبت‌های طول به قطر سوراخ می‌شود. با توجه به پیچیدگی رفتار جریان، ناحیه ورودی هوای خنک از پلنوم به سوراخ و ناحیه خروج هوای خنک از سوراخ به جریان اصلی به شبکه‌بندی دقیقتری نیازمندند. تمامی شرایط مرزی و سرعت ورودی بر مبنای آزمایش‌های اشمیت و همکاران در شبیه‌سازی اولیه به منظور اعتبارسنجی لحاظ شده است. نتیجه شبیه‌سازی در نسبت دمش 0.6 و $1/25$ در شکل (۲) نشان داده شده است که مطابقت خوبی با نتایج تجربی دارد. اما از آنجایی که به‌کارگیری این دامنه محاسباتی برای حل LES مستلزم شبکه‌بندی با تعداد بسیار زیادی گره می‌باشد، از این رو دامنه محاسباتی با ابعادی کوچکتر و تغییر در شرط مرزی سرعت ورودی جریان اصلی برای شبیه‌سازی RANS و LES در این مطالعه در نظر گرفته شده است (شکل ۳).



شکل ۱ دامنه محاسباتی و شرایط مرزی مربوط به تک سوراخ خنک‌کاری اشمیت و همکاران [35]

$$\frac{\partial}{\partial t}(\rho \bar{u}_i) + \frac{\partial}{\partial x_j}(\rho \bar{u}_i \bar{u}_j) = \frac{\partial}{\partial x_j} \left(\mu \frac{\partial \bar{u}_i}{\partial x_j} \right) - \frac{\partial \bar{p}}{\partial x_i} - \frac{\partial \tau_{ij}}{\partial x_j} \quad (9)$$

$$\frac{\partial \rho \bar{h}_s}{\partial t} + \frac{\partial \rho \bar{u}_i \bar{h}_s}{\partial x_i} - \frac{\partial \bar{p}}{\partial t} - \bar{u}_j \frac{\partial \bar{p}}{\partial x_i} - \frac{\partial}{\partial x_i} \left(\lambda \frac{\partial \bar{T}}{\partial x_i} \right) = - \frac{\partial q_j}{\partial x_j} \quad (10)$$

q_j فلاکس آنتالپی زیرشبکه است و به صورت زیر مدل می‌شود:

$$\rho(\overline{u_i h_s} - \bar{u}_i \bar{h}_s) = - \frac{\mu_{SGS} C_p}{Pr_{SGS}} \frac{\partial \bar{T}}{\partial x_j} \quad (11)$$

که در رابطه بالا μ_{SGS} و Pr_{SGS} به ترتیب ویسکوزیته و عدد پراتل زیرشبکه می‌باشد. تنش برشی (τ_{ij}) به صورت زیر تعریف می‌شود:

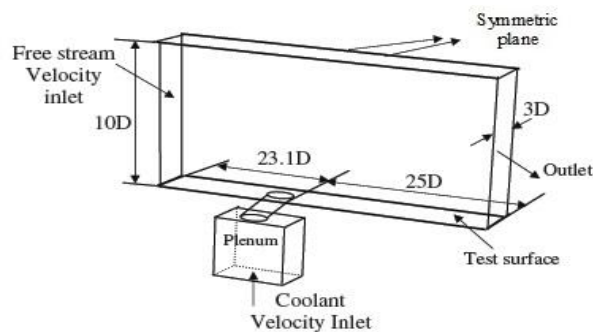
$$\tau_{ij} - \frac{1}{3} \tau_{kk} \delta_{ij} = -2\mu_t \bar{S}_{ij} \quad (12)$$

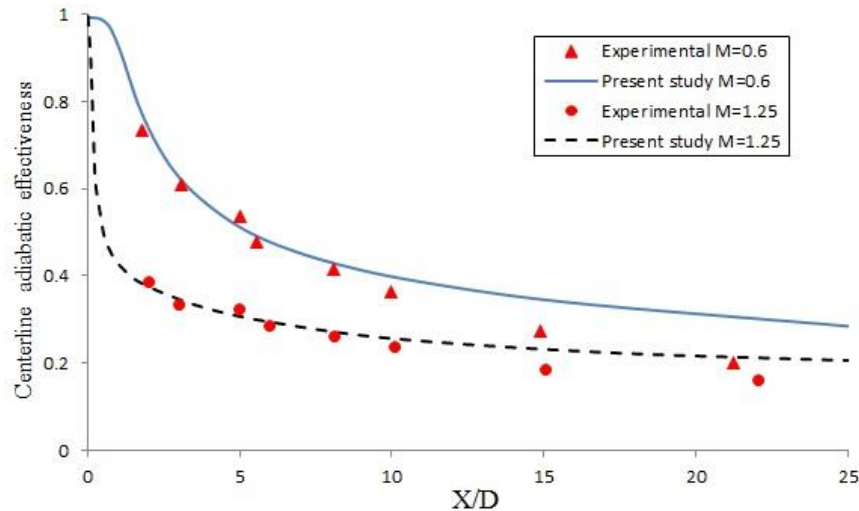
که \bar{S}_{ij} نرخ تانسور کرنش است:

$$\bar{S}_{ij} \equiv \frac{1}{2} \left(\frac{\partial \bar{u}_i}{\partial x_j} + \frac{\partial \bar{u}_j}{\partial x_i} \right) \quad (13)$$

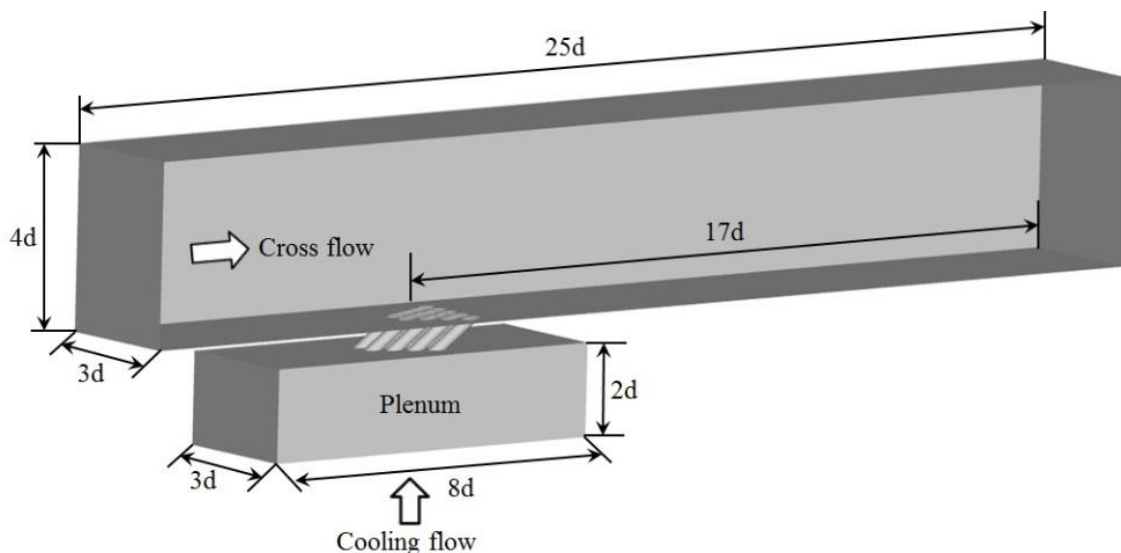
در مدل آشفتگی اسمانگورینسکی [34] ویسکوزیته مقیاس زیرشبکه با رابطه زیر مدل‌سازی می‌شود:

$$\mu_t = \rho(C_S \Delta)^2 |\bar{S}| \quad (14)$$





شکل ۲ مقایسه اثربخشی خط مرکزی با نتایج آزمایشگاهی تک سوراخ استوانه‌ای



شکل ۳ دامنه محاسباتی برای تک سوراخ و مجموعه سوراخ‌کاری در رهیافت LES

سیال خنک‌کاری و جریان اصلی به ترتیب $187/5$ و 300 درجه کلون است. شدت آشفته‌گی جریان آزاد و جریان خنک‌کاری به ترتیب $2/0\%$ و $1/0\%$ در نظر گرفته شده است. شرایط مرزی تقارن در دیواره بالایی و طرفین جریان اصلی اعمال شده است. صفحه تست، لوله‌های خنک‌کاری و پلنوم با شرط مرزی دیواره آدیاباتیک بدون لغزش شبیه‌سازی شده‌اند.

حل عددی

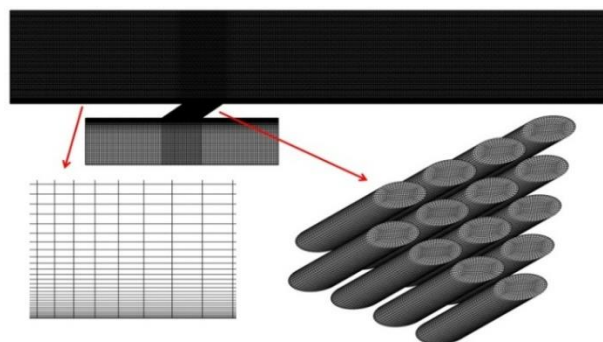
در تحقیق حاضر از شبکه‌ای سازمان یافته و غیر یکنواخت برای گسسته‌سازی میدان حل استفاده شده است. نمونه‌ای از شبکه‌بندی در شکل (۴) نشان داده شده است. ساختار این شبکه‌بندی در نزدیکی دیواره به گونه‌ای پالایش شده است که

برای دامنه محاسباتی مجموعه سوراخ‌ها، سوراخ با قطر $11/1$ میلی‌متر، به 14 سوراخ با قطر $2/97$ میلی‌متر تقسیم شده است به طوری که فاصله مرکز به مرکز سوراخها $1/5$ برابر قطر سوراخها می‌باشد. در هر دو دامنه محاسباتی، مساحت خروجی سوراخ خنک‌کاری برابر می‌باشد. سایر پارامترها مورد بررسی به جز تعداد و اندازه سوراخ‌ها در هر دو دامنه محاسباتی یکسان می‌باشد. هندسه سوراخها دارای زاویه تزریق 35 درجه و نسبت طول به قطر لوله 4 می‌باشند. یک پروفیل آشفته کاملاً توسعه یافته (قانون توانی $1/7$ با ضخامت لایه مرزی $\delta=0/5D$) در ورودی جریان اصلی در نظر گرفته شده است [29,31]. سرعت ورودی یکنواخت پلنوم و سرعت متوسط جریان اصلی برای به دست آوردن نسبت دمش $M=1/25$ تنظیم شده است. دمای

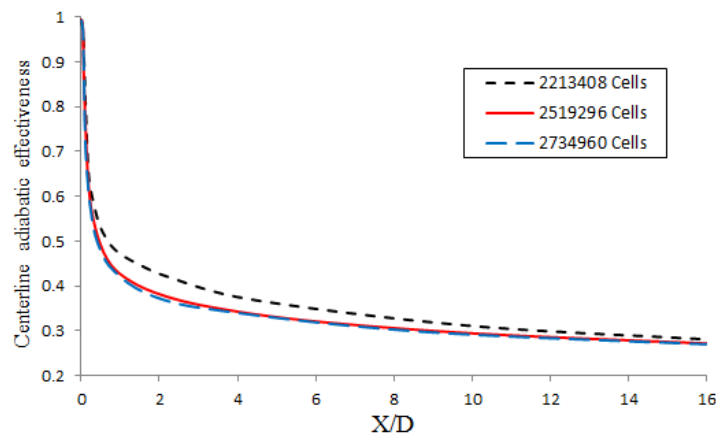
نتایج

اثر بخشی آدیاباتیک خط مرکزی حاصل از شبیه‌سازی RANS و LES (متوسط زمانی) مربوط به هر دو هندسه مورد مطالعه، در شکل (۶) با یکدیگر مقایسه شده است. همان طور که در شکل (۶) مشاهده می‌شود استفاده از مجموعه سوراخ به طور قابل توجهی افزایش اثر بخشی خنک‌کاری را در پی دارد. بر طبق نتایج LES ساکای و همکاران [27] با افزایش نسبت دمش ($M > 0.5$) در یک سوراخ استوانه‌ای به دلیل lift-off جت، خروجی به درون جریان متقاطع نفوذ می‌کند، بنابراین، اثر بخشی خنک‌کاری لایه‌ای بلافاصله در پایین دست خروجی سوراخ کاهش می‌یابد. سپس، جت خارج شده مجدداً به سطح دیوار متصل می‌گردد و اثر خنک‌کاری لایه‌ای بهبود می‌یابد. این موضوع در شکل (۶-الف) کاملاً مشهود است. به نظر می‌رسد با به‌کارگیری مجموعه سوراخ، این شرایط به جای عملکرد در خروجی سوراخ، به پایین دست آن ($X/D > 10$) منتقل می‌گردد و شرایط در نزدیکی سوراخ خنک‌کاری در حالت ایدئالی باقی می‌ماند.

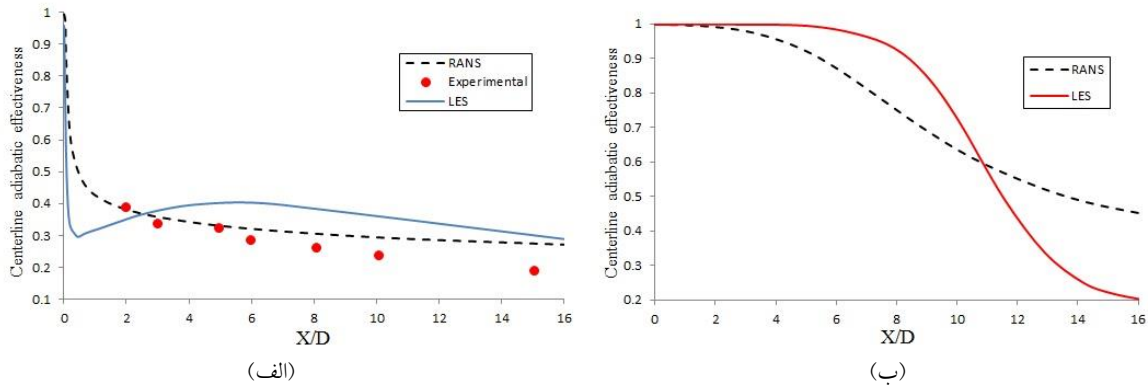
مقدار y^+ در نزدیکی اولین شبکه کمتر از یک باشد. ضریب انبساط در جهت دیواره عمودی $1/0.5$ است. شبیه‌سازی‌ها با به‌کارگیری نرم‌افزار ANSYS fluent انجام شده است. در هر دو رهیافت برای کوپلینگ فشار-سرعت از الگوریتم «سیمپل‌سی» استفاده شده است. نتیجه استقلال حل از شبکه برای تک سوراخ استوانه‌ای در رهیافت RANS در شکل (۵) نشان داده شده است. مقادیر خطای باقی‌مانده برای همگرایی در مقدار 10^{-4} برای معادله پیوستگی و 10^{-6} برای معادلات مومنتوم و انرژی تنظیم شده است. در حل LES، گام زمانی ($\Delta t = 2 \times 10^{-5}$) به گونه‌ای انتخاب شده است که عدد CFL در تمامی دامنه محاسباتی کمتر از یک باقی بماند. مقادیر متوسط زمانی در $t = 10T$ ، $T = L/u_{\infty}$ ، ده بار جاروب نمودن دامنه با سرعت جریان اصلی) محاسبه شده است. برای حل LES از سیستم محاسبات سنگین دانشگاه سمنان استفاده شده است. این سیستم دربرگیرنده ۶۰ هسته ۲/۲ GHz است که به صورت موازی و در زمانی در حدود ۲۴۰ ساعت به کار گرفته شده است تا نتایج مورد نظر ثبت گردد.



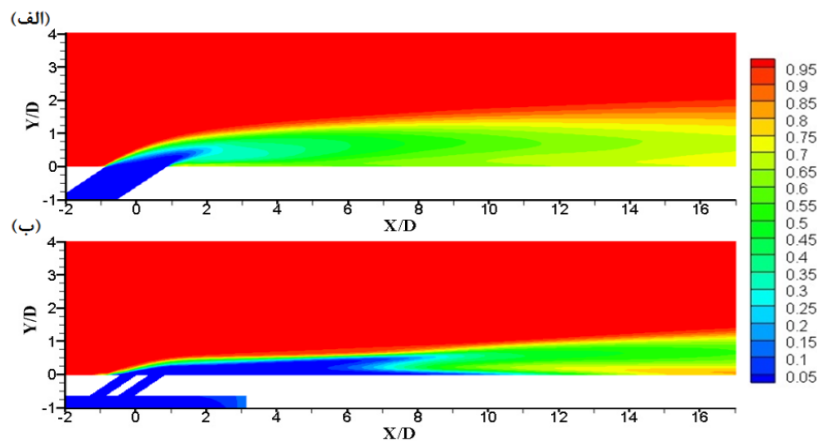
شکل ۴ ساختار شبکه‌بندی مجموعه سوراخ خنک‌کاری دوزنقه‌ای



شکل ۵ حساسیت ساختار شبکه‌بندی برای تک سوراخ استوانه‌ای در نسبت دمش ۱/۲۵



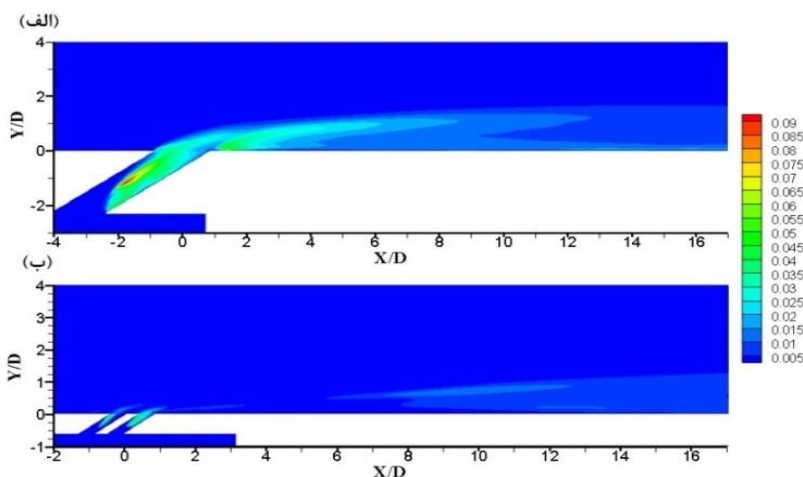
شکل ۶ مقایسه اثربخشی خنک کاری خط مرکزی الف) تک سوراخ و ب) مجموعه سوراخ خنک کاری دوزنقه‌ای



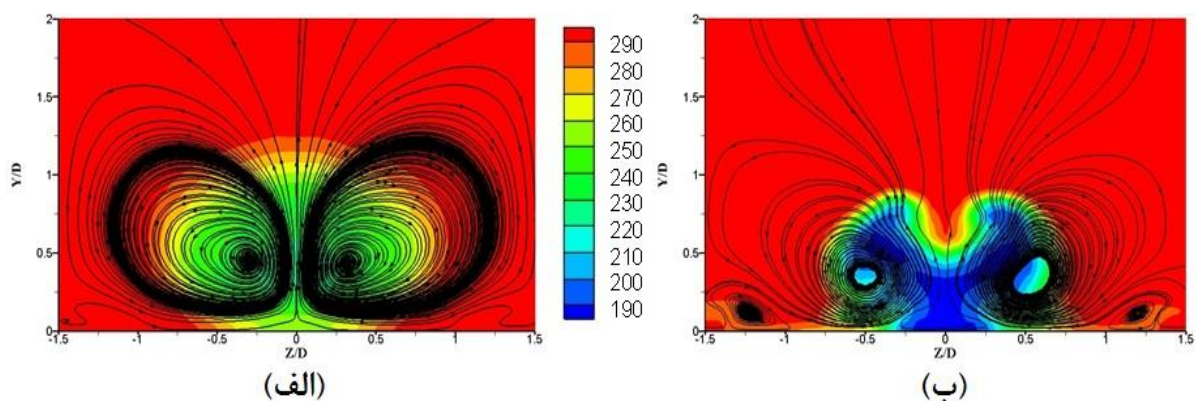
شکل ۷ متوسط زمانی دمای بی بعد بر روی صفحه مرکزی الف) تک سوراخ و ب) مجموعه سوراخ دوزنقه‌ای

آن در پایین دست جریان نسبت به تک سوراخ استوانه‌ای شده است که این موضوع کاهش اختلاط سیال خنک کاری و جریان اصلی و افزایش اثربخشی خنک کاری را نیز به دنبال دارد. توزیع متوسط زمانی خطوط جریان بر روی صفحه عرضی در مقطع $X/D=3$ با کانتور دما شکل (۹) نشان داده شده است. CRVP مهمترین دلیل کاهش اثربخشی خنک کاری لایه‌ای است که در اثر برهمکنش بین جت و جریان اصلی ایجاد می‌شود و جریان اصلی گرم را به درون هوای خنک کاری می‌کشد. این جفت ورتکس‌ها در تک سوراخ استوانه‌ای بسیار مشهود و قدرتمند می‌باشند شکل (۹-الف). افزایش فاصله جانبی و جدایش گردابه‌ها باعث کاهش قدرت جفت ورتکس‌ها شده [36,37] و منجر به تمایل بیشتر سیال خنک کاری به باقی ماندن در نزدیکی سطح می‌شود. همان طور که در شکل (۹-ب) نشان داده شده است، این امر با به‌کارگیری مجموعه سوراخ خنک کاری محقق شده است و افزایش اثربخشی خنک کاری را در پی دارد.

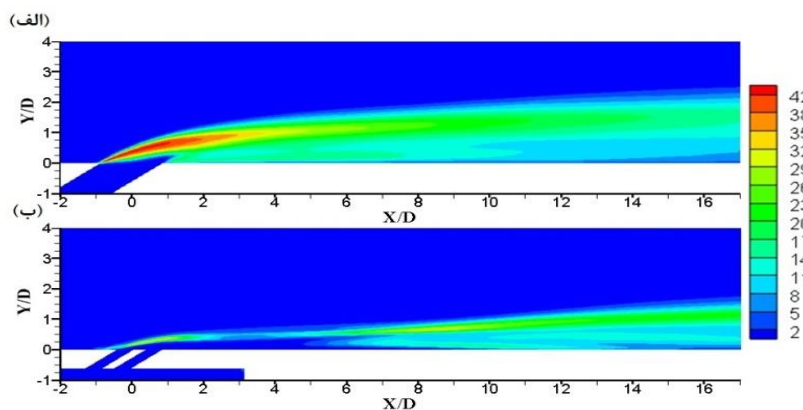
همان طور که در شکل (۷) نشان داده شده است نفوذ سیال خنک کاری به درون جریان اصلی و اختلاط با آن، در مجموعه سوراخ بسیار کمتر از تک سوراخ است که این امر منجر به پوشش بهتر این نوع چیدمان می‌شود. توزیع لحظه‌ای انرژی جنبشی آشفته‌گی بی‌بعد نیز در شکل (۸) نشان داده شده است. همان طور در شکل (۸) دیده می‌شود، مقادیر بالای آشفته‌گی در دو ناحیه مهم رخ می‌دهد. یک ناحیه بر روی دیواره پایینی سوراخ خنک کاری است و ناحیه دیگر در خروجی جت و پایین دست آن می‌باشد. در ناحیه اول، جدایش لایه مرزی منجر به گرادبان سرعت بالا و افزایش انرژی جنبشی آشفته‌گی می‌شود. در ناحیه دوم، فعل و انفعال لایه مرزی جریان اصلی با حلقه گردابه‌ای جت، منجر به تنش برشی بالا و تولید بالاترین سطح آشفته‌گی می‌شود [29]. این سطح آشفته‌گی بالا برای تک سوراخ استوانه‌ای به افزایش اختلاط بین سیال خنک کاری و جریان اصلی منجر می‌شود. از شکل (۸-ب) کاملاً آشکار است که به‌کارگیری مجموعه سوراخ منجر به کاهش قابل توجهی در سطح ناحیه انرژی جنبشی آشفته‌گی در خروجی جت و مقادیر



شکل ۸ توزیع لحظه‌ای انرژی جنبشی آشفتگی بی‌بعد بر روی صفحه مرکزی ($Z/D=0$)، الف) تک سوراخ و ب) مجموعه سوراخ دوزنقه‌ای



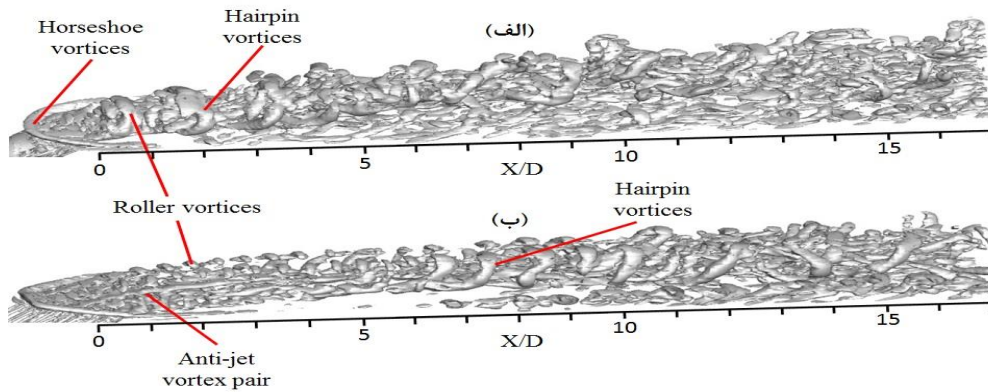
شکل ۹ توزیع متوسط زمانی خطوط جریان بر روی $X/D=3$ ، الف) تک سوراخ و ب) مجموعه سوراخ دوزنقه‌ای



شکل ۱۰ توزیع مقادیر دمای نوسانی بر روی صفحه مرکزی ($Z/D=0$)، الف) تک سوراخ و ب) مجموعه سوراخ دوزنقه‌ای

بین حوزه جریان گرم و سرد روی می‌دهد در حالی که در مجموعه سوراخ، مقادیر دمای نوسانی و توزیع ناحیه انرژی سینتیک (شکل ۸) در مقایسه با تک سوراخ بسیار کمتر است. این امر نشان دهنده مقادیر کمتر اختلاط آشفتگی جت با جریان اصلی در این چیدمان می‌باشد.

سطح مشترک بین جت خنک‌کاری و جریان اصلی با استفاده از اندازه‌گیری دمای نوسانی (T_{rms}) مشخص می‌شود [38]. شکل (۱۰) کانتور دمای نوسانی بر روی صفحه مرکزی را نشان می‌دهد. خط مشترک جت و جریان اصلی با محل دمای نوسانی بالا تعریف می‌شود. همان‌طور که در شکل (۱۰) مشاهده می‌شود در تک سوراخ استوانه‌ای فعل و انفعال قوی



شکل ۱۱ ساختارهای منسجم خنک کاری لایه‌ای (Value of iso-surface: 1×10^6)، الف) تک سوراخ و ب) مجموعه سوراخ دوزنقه‌ای

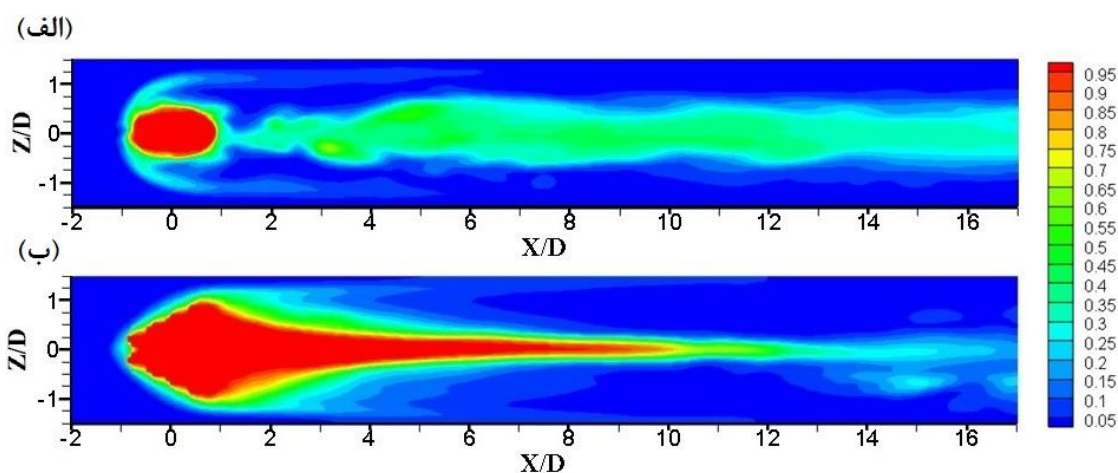
بسیاری از گردابه‌های شکسته شده در مقیاس کوچک تولید می‌کنند. برخی از این گردابه‌های در مقیاس کوچک، با انتهای گردابه‌های غلتکی ادغام شده و تا حدی شکل‌گیری گردابه‌های غلتکی را تقویت می‌کنند. در هر دو طرف مجموعه سوراخ، یک جفت نوار گردابه تولید شده و در اطراف سوراخ پیچیده می‌شود. تفاوت مهم در ساختار مجموعه سوراخ نسبت به تک سوراخ، تشکیل گردابه‌های anti-CRVP است. جهت چرخش این گردابه‌ها بر خلاف جهت CRVP است که به همین علت جفت ورتکس anti-jet نامیده می‌شوند. در شکل (۱۰-ب) این ورتکسها در قسمت بالای CRVP مشهود است، که برخلاف تک سوراخ که جهت چرخش تمامی خطوط جریان در یک جهت می‌باشد، در مجموعه سوراخ این گونه نیست. این نوع گردابه‌ها با ایجاد سطحی دما پایین در لایه پایینی خود، موجب افزایش اثربخشی خنک کاری لایه‌ای می‌شوند.

شکل (۱۲) توزیع لحظه‌ای اثربخشی خنک کاری بر روی صفحه تست را نشان می‌دهد. مطابق شکل (۱۲) برای حالت تک سوراخ استوانه‌ای، اثر ورتکس نعل اسبی منجر به تشکیل یک جفت ساقه (leg) با اثربخشی بالا می‌شود که ورتکس نعل اسبی دور سوراخ پیچیده شده است. در پایین دست سوراخ نیز اتصال مجدد جت خنک کاری تقریباً در $X/D=2 \sim 3$ رخ می‌دهد. جدایی جریان در نزدیکی خروجی تک سوراخ خنک کاری در شکل (۱۳) نیز قابل مشاهده است. این جدایی منجر به مقادیر منفی سرعت محوری در نزدیکی خروجی تک سوراخ شده است. در مقایسه با تک سوراخ استوانه‌ای، همان طور که در شکل (۱۲) دیده می‌شود مجموعه سوراخ اثربخشی خنک کاری بسیار بهتری در نواحی نزدیک به سوراخ خنک کاری بدون جدایش جریان و همچنین در پایین دست جریان نشان می‌دهد.

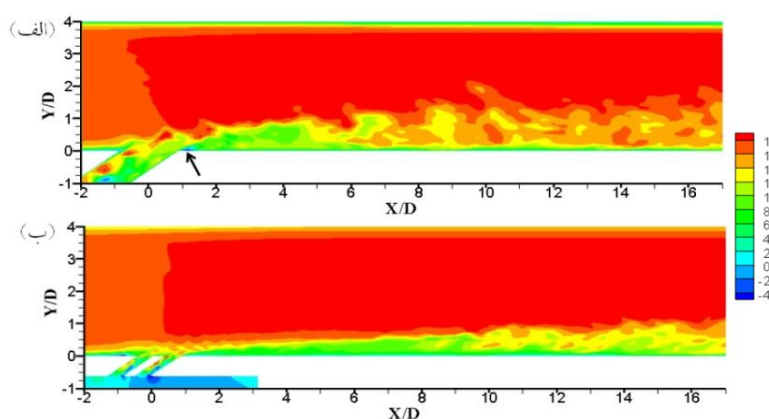
در این مطالعه از روش معیار-Q برای تشخیص ساختارهای منسجم استفاده شده است. شکل (۱۱) ساختارهای منسجم خنک کاری لایه‌ای تک سوراخ و مجموعه سوراخ خنک کاری را نشان می‌دهد. گردابه‌های سنجاقی شکل، گردابه‌های متداول در حوزه جریان جت با جریان اصلی هستند. اثر گردابه‌های سنجاقی شکل، به خصوص پایه افقی آن که مطابق با CRVP است [39]، اختلاط جریان اصلی و سیال خنک کاری را تقویت نموده و اثربخشی خنک کاری را کاهش می‌دهد. در زیر ساختارهای سنجاقی شکل، اثربخشی خنک کاری لایه‌ای اندک است.

تشکیل گردابه‌های نعل اسبی (horseshoe vortices) بلافاصله در بالادست خروجی سوراخ به دلیل گرادیان فشار است [40]. با توجه به شکل (۱۱) می‌توان مشاهده کرد خطی از چندین گردابه سنجاقی شکل در پایین دست سوراخ ایجاد می‌شود که توزیع آنها در پایین دست جریان نامنظم است. اما در مجموعه سوراخ خنک کاری، مقیاس این گردابه‌های سنجاقی شکل کوچکتر از گردابه‌های تک سوراخ است و شکل‌گیری آنها در مکانی دورتر از سوراخ خنک کاری صورت می‌گیرد. به دلیل اثر برشی در لایه مرزی، گردابه‌های غلتکی که در نزدیکی حوزه جریان سوراخ خنک کاری موجود می‌باشند، به تدریج رشد نموده و در نهایت به صورت گردابه‌های سنجاقی شکل تکامل می‌یابند. این تکامل گردابه‌ای در تک سوراخ به سرعت در نزدیکی سوراخ صورت می‌گیرد اما در مجموعه سوراخ تا حد بسیار زیادی این تکامل به پایین دست جریان منتقل شده و تشکیل گردابه‌های سنجاقی شکل را به تعویق می‌اندازد.

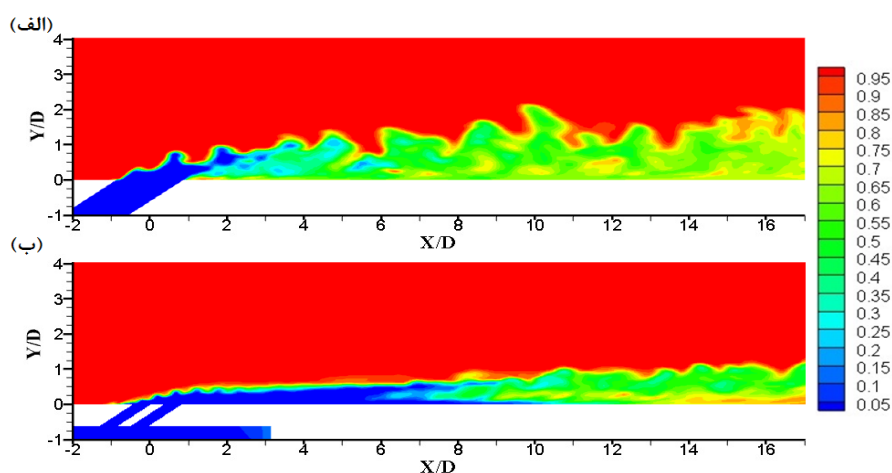
یکی دیگر از ساختارهای مهم اطراف سوراخ، گردابه‌های شناور (hovering) است. این گردابه‌ها از دیوار جدا شده و



شکل ۱۲ توزیع لحظه‌ای اثر بخشی خنک‌کاری لایه‌ای بر روی صفحه تست، الف) تک سوراخ و ب) مجموعه سوراخ دوزنقه‌ای



شکل ۱۳ توزیع لحظه‌ای سرعت محوری بر روی صفحه مرکزی ($Z/D=0$)، الف) تک سوراخ و ب) مجموعه سوراخ دوزنقه‌ای



شکل ۱۴ توزیع لحظه‌ای دمای بی‌بعد بر روی صفحه مرکزی ($Z/D=0$)، الف) تک سوراخ و ب) مجموعه سوراخ دوزنقه‌ای

از سطح پایین دست تزریق جدا شده و سیال جریان متقاطع به زیر جت نفوذ می‌کند. اما در مجموعه سوراخ خنک‌کاری درجه حرارت جت تا $X/D \sim 10$ تقریباً در مقدار اولیه خود باقی می‌ماند که نشان از عدم نفوذ سیال جریان اصلی به درون جت

شکل (۱۴) توزیع لحظه‌ای دمای بی‌بعد بر روی صفحه مرکزی را نشان می‌دهد. در تک سوراخ استوانه‌ای به محض ورود جت و اختلاط با جریان اصلی، درجه حرارت آن به سرعت در جهت پایین دست کاهش می‌یابد. جت تزریق شده

شده مجدداً به سطح دیوار متصل می‌گردد. با به‌کارگیری مجموعه سوراخ، این شرایط به جای عملکرد در خروجی سوراخ، به پایین دست آن ($X/D > 10$) منتقل شده و شرایط در نزدیکی سوراخ خنک‌کاری در حالت ایدئالی باقی می‌ماند. در مجموعه سوراخ، مقادیر دمای نوسانی و توزیع ناحیه انرژی سیستیک در مقایسه با تک سوراخ بسیار کمتر است، که نشان‌دهنده مقادیر کمتر اختلاط آشفته‌گی جت با جریان اصلی در این چیدمان می‌باشد.

در مقایسه با تک سوراخ استوانه‌ای، جت سیال خنک‌کاری حاصل از مجموعه سوراخ به سطح نزدیکتر است و توانایی نفوذ ضعیف‌تری را در جهت عمودی نشان می‌دهد و اثربخشی خنک‌کاری بهتری را فراهم می‌نماید. به دلیل اثر برشی در لایه مرزی، گردابه‌های غلتکی که در نزدیکی حوزه جریان سوراخ خنک‌کاری موجود می‌باشند، به تدریج رشد نموده و در نهایت به صورت گردابه‌های سنجاقی شکل تکامل می‌یابند. این تکامل گردابه‌ای در تک سوراخ به سرعت در نزدیکی سوراخ صورت می‌گیرد اما در مجموعه سوراخ تا حد بسیار زیادی این تکامل به پایین دست جریان منتقل شده و تشکیل گردابه‌های سنجاقی شکل را به تعویق می‌اندازد. گردابه‌های غلتکی که اختلاط بین جریان اصلی و سیال خنک‌کاری را تقویت نموده و اثربخشی خنک‌کاری لایه‌ای را کاهش می‌دهند، در مجموعه سوراخ دارای قدرت کمتری می‌باشند. در مجموعه سوراخ خنک‌کاری، مقیاس گردابه‌های سنجاقی شکل کوچکتر از گردابه‌های تک سوراخ است و شکل‌گیری آنها در مکانی دورتر از سوراخ خنک‌کاری صورت می‌گیرد. در ساختار مجموعه سوراخ جفت گردابه‌های anti-jet تشکیل می‌شوند که جهت چرخش این گردابه‌ها بر خلاف جهت CRVP است و برخلاف CRVP اثربخشی خنک‌کاری لایه‌ای را بهبود می‌بخشند.

فهرست علائم

$\frac{U\Delta t}{\Delta x}$ پارامتر Courant, Freidricks, Levy	CFL
قطر سوراخ	D
آنتالپی محسوس	h_s
طول کانال جریان اصلی	L
نسبت دمش $(\rho U)_c / (\rho U)_\infty$	M
عدد رینولدز	Re
دما	T
زمان	t

می‌باشد. مرز بین جریان اصلی و سیال خنک‌کاری بیان‌کننده توزیع موج در نزدیکی حوزه جریان است. نقطه اوج موج متناسب با گردابه‌های غلتکی یا سرهای گردابه‌های سنجاقی شکل می‌باشد. گردابه‌های غلتکی اختلاط بین جریان اصلی و سیال خنک‌کاری را تقویت می‌نماید که این موضوع اثربخشی خنک‌کاری لایه‌ای را کاهش می‌دهد [29]. در مقایسه با تک سوراخ استوانه‌ای، جت سیال خنک‌کاری حاصل از مجموعه سوراخ به سطح نزدیکتر است و توانایی نفوذ ضعیف‌تری را در جهت عمودی نشان می‌دهد و اثربخشی خنک‌کاری بهتری را فراهم می‌نماید. همچنین از شکل (۱۴-ب) مشخص است که گردابه‌های غلتکی در مجموعه سوراخ دارای قدرت کمتری می‌باشند.

نتیجه‌گیری

در این مطالعه جریان خنک‌کاری لایه‌ای بر روی یک صفحه تخت با استفاده از رهیافت RANS و LES به منظور بررسی اثرات به‌کارگیری مجموعه سوراخ بر اثربخشی خنک‌کاری لایه‌ای شبیه‌سازی شده است. هندسه‌های مورد مطالعه در این شبیه‌سازی شامل تک سوراخ استوانه‌ای با قطر ۱۱/۱ mm و یک مجموعه سوراخ با ۱۴ سوراخ استوانه‌ای ۲/۹۷ میلی‌متری می‌باشند. این مجموعه سوراخ به شکل سوراخ دوزنقه‌ای چیدمان شده است. شبیه‌سازی عددی در نسبت چگالی ۱/۶، نسبت طول به قطر ۴، زاویه ۳۵ درجه و نسبت دمش ۱/۲۵ صورت گرفته است. نتایج به دست آمده از هر دو رهیافت نشان می‌دهد که جایگزینی تک سوراخ با مجموعه سوراخ شکل داده شده، منجر به افزایش قابل توجهی در اثربخشی خنک‌کاری لایه‌ای در هر دو جهت طولی و عرضی می‌گردد که این افزایش در پی تغییر در ساختار گردابه‌ها حاصل می‌گردد.

فعل و انفعال بین جت و جریان اصلی منجر به تشکیل ساختارهای پیچیده گردابه‌ای می‌شود که این ساختارهای گردابه‌ای تأثیر بسیاری در عملکرد خنک‌کاری لایه‌ای دارند. رویکردهای مبتنی بر RANS قادر به ضبط پدیده‌های وابسته به زمان نظیر شکست گردابه یا جدایش ساختارهای جریان نیستند. به همین دلیل نتایج دو رهیافت متفاوت است. نتایج حاصل از رهیافت LES نشان می‌دهد که در یک سوراخ استوانه‌ای به دلیل lift-off جت، اثربخشی خنک‌کاری لایه‌ای بلافاصله در پایین دست خروجی سوراخ کاهش یافته و سپس، جت خارج

واژه نامه	زیرنویس	انرژی سینتیک آشفتگی بی‌بعد	علائم یونانی
	c	$\frac{1/2(u_{rms}^2 + v_{rms}^2 + w_{rms}^2)}{u_{\infty}^2}$	TKE
	aw	شدت آشفتگی	Tu
	∞	X, Y و Z مولفه‌های سرعت در راستای	u, v, w
			ρ
شبیه‌سازی گردابه‌های بزرگ	Large eddy simulation	چگالی سیال	λ
جفت گردابه‌های عکس گرد	CRVP	ضریب هدایت حرارتی	η
گردابه‌های نعل اسبی	Horseshoe vortices	اثر بخشی خنک‌کاری لایه‌ای آدیاباتیک،	(eta)
معادلات متوسط‌گیری شده رینولدز	RANS	$\eta = \frac{T_{aw} - T_{\infty}}{T_c - T_{\infty}}$	μ_t
		ویسکوزیته مقیاس زیر شبکه	θ
		$\theta = \frac{T - T_c}{T_{\infty} - T_c}$ دمای بی‌بعد،	Δ
		طول مشخصه	Θ
		انرژی داخلی	

تقدیر و تشکر

مراجع

- [1] J. C. Han, S. Dutta, and S. V. Ekkad, "Gas turbine heat transfer and cooling technology", Taylor and Francis Publications, New York, USA, 2000.
- [2] P. L. Johnson, and V. Shyam, "Large Eddy Simulation of a Film Cooling Flow Injected from an Inclined Discrete Cylindrical Hole into a Crossflow with Zero-Pressure Gradient Turbulent Boundary Layer", NASA/TM, No. E-18382, 2012
- [3] M. Zolfagharian, M. Rajabi-Zargarabadi, A. S. Mujumdar, M. S. Valipour and M. Asadollahi, "Optimization of turbine blade cooling using combined cooling techniques" *Engineering Applications of Computational Fluid Mechanics*, vol. 3, Pp. 462-475, 2014.
- [4] M. Rajabi- Zargarabadi, and F. Bazdidi- Tehrani, "Implicit algebraic model for predicting turbulent heat flux in film cooling flow" *International Journal for Numerical Methods in Fluids*, vol. 64, Pp. 517-531, 2010.
- [5] S. R. Shine, S. Sunil Kumar, and B. N. Suresh, "Internal wall-jet film cooling with compound angle cylindrical holes", *Energy Conversion and Management*, vol. 68, Pp. 54-62, 2013.
- [6] A. Moeini, and M. Rajabi Zargarabadi, "Genetic algorithm optimization of film cooling effectiveness over a rotating blade" *International Journal of Thermal Sciences*, vol. 125, Pp. 248-255, 2018.
- [7] A. Azzi, and B. A. Jubran, "Numerical modeling of film cooling from converging slot-hole", *Heat and Mass Transfer*, vol. 43, Pp. 381-388, 2007.
- [8] H. Nasir, S. V. Ekkad, and S. Acharya, "Effect of compound angle injection on flat plate surface film cooling with large stream wise injection angle", *Experimental Thermal and Fluid Science*, vol. 25, Pp. 23-29, 2001.
- [9] H. W. Lee, J.J. Park, and J. S. Lee, "Slow visualization and film cooling effectiveness measurements around shaped holes with compound angle orientations", *International Journal of Heat and Mass Transfer*, vol. 45, Pp. 145-156, 2002.

- [10] J. H. Kim, and K. Y. Kim, "Film-cooling performance of converged-inlet hole shapes", *International Journal of Thermal Sciences*, vol. 124, Pp. 196–211, 2018.
- [11] M. J. Ely, and B. A. Jubran, "A numerical study on increasing film cooling effectiveness through the use of sister holes", ASME Paper, GT-50366, 2008.
- [12] C. Saumweber, and A. Schulz, "Effect of geometry variations on the cooling performance of fan-shaped cooling holes", *Proceedings of ASME Turbo Expo 2008*, GT2008–51038, (2008).
- [13] W. S. Fua, W. S. Chaoa, M. Tsubokura, C. G. Lic, and W. H. Wangd, "Investigation of boundary layer thickness and turbulence intensity on film cooling with a fan-shaped hole by direct numerical simulation", *International Communications in Heat and Mass Transfer*, vol. 96, Pp. 12–19, 2018.
- [14] Lee, K. D., and Kim, K. Y., "Shape optimization of a fan-shaped hole to enhance film cooling effectiveness", *International Journal of Heat and Mass Transfer*, vol. 53, Pp. 2996–3005, (2010).
- [15] M. Fraas, T. Glasenapp, A. Schulz, and H. Bauer, "Optimized inlet geometry of a laidback fan-shaped film cooling hole – Experimental study of film cooling performance", *International Journal of Heat and Mass Transfer*, vol. 128, Pp. 980–990, 2019.
- [16] A. M. M. Abdala, and F. N. M., Elwekeel "An influence of novel upstream steps on film cooling performance", *International Journal of Heat and Mass Transfer*, vol. 93, Pp. 86–96, 2016.
- [17] F. Zhang, X. Wang, and J. Li, "The effects of upstream steps with unevenly spanwise distributed height on rectangular hole film cooling performance", *International Journal of Heat and Mass Transfer*, vol. 102, Pp. 1209–1221, 2016.
- [18] L. Ye, C. Liu, H. Liu, H. Zhu, and J. Luo, "Experimental and numerical study on the effects of rib orientation angle on film cooling performance of compound angle holes", *International Journal of Heat and Mass Transfer*, vol. 126, Pp. 1099–1112, 2018.
- [19] C. Leblanc, D. Narzary, and S. V. Ekkad, "Film cooling performance of an anti-vortex hole on a flat plate", AJTEC2011-44161, AJTEC, Hawaii, (2011).
- [20] K. Singh, B., Premachandran, and M. R. Ravi, "Experimental and numerical studies on film cooling with reverse/backward coolant injection", *International Journal of Thermal Sciences*, vol. 111, Pp. 390-408, 2017.
- [21] Z. Chi, J. Ren, H. Jiang, and S. Zang, "Geometrical optimization and experimental validation of a tripod film cooling hole with asymmetric side holes", *Journal of Heat Transfer*, vol. 138, 061701, 2016.
- [22] S. Acharya, M. Tyagi, and A. Hoda, "Flow and Heat Transfer Predictions for Film Cooling", Heat Transfer in gas turbine systems, Annals of the New York Academy of Sciences, vol. 934, Pp. 100-125, 2001.
- [23] X. Guo, W. Schroder, and M. Meinke, "Large-eddy simulations of film cooling flows", *Computers & Fluids*, vol. 35, Pp. 587-606, 2006.
- [24] L. Zhong, C. Zhou, Z. Sun, and S. Chen, "Heat transfer mechanisms of inclined jets in cross flow with different holes", *International Journal of Heat and Mass Transfer*, vol. 131, Pp. 664-674, 2019.
- [25] R. Hou, F. Wen, S. Wang, Y. Luo, and X. Tang, "Large eddy simulation of the trenched film cooling hole with different compound angles and coolant inflow orientation effects", *Applied Thermal Engineering*, vol. 163, 114397,

2019.

- [26] M. Tyagi, and S. Acharya, "Large eddy simulation of film cooling flow from an inclined cylindrical jet", *ASME Journal of Turbomachinery*, vol. 125, Pp. 734-742, 2003.
- [27] E. Sakai, T. Takahashi, and H. Watanabe, "Large-eddy simulation of an inclined round jet issuing into a crossflow", *International Journal of Heat and Mass Transfer*, vol. 29, Pp. 300-310, 2014.
- [28] A. Zamiri, S. J. You, and J. T. Chung, "Large Eddy Simulation of Unsteady Turbulent Flow Structures and Film-Cooling Effectiveness in a Laidback Fan-Shaped Hole", *Aerospace Science and Technology*, 105793, 2020.
- [29] C. Wang, F. Fan, J. Zhang, Y. Huang, and H. Feng, "Large eddy simulation of film cooling flow from converging slot-holes", *International Journal of Thermal Sciences*, vol. 126, Pp. 238–251, 2018.
- [30] D. H. Leedom, and S. Acharya, "Large Eddy Simulation of Film Cooling Flow Field from Cylindrical and Shaped Holes", ASME Turbo Expo 2008, Paper No. GT2008-51009, June 9–13, Berlin, Germany, (2008).
- [31] C. Wang, J. Zhang, H. Feng, and Y. Huang, "Large Eddy Simulation of Film Cooling Flow from A Fanshaped Hole", *Applied Thermal Engineering*, vol. 129, Pp. 855-870, 2018.
- [32] ANSYS Inc. ANSYS FLUENT theory guide, ANSYS FLUENT 16.0.0, Cononsburg, PA, USA, 2014.
- [33] T. H. Shih, W. W. Liou, A. Shabbir, Z. Yang, and J. Zhu, "A New k- ϵ Eddy-Viscosity Model for High Reynolds Number Turbulent Flows - Model Development and Validation", *Computers Fluids*, vol. 24, Pp. 227–238, 1995.
- [34] J. Smagorinsky, "General circulation experiments with the primitive equations: I. The basic experiment", *Mon Weather Rev*, vol. 91, Pp. 99-164, 1963.
- [35] D. L. Schmidt, B. Sen, and D. G. Bogard, "Film cooling with compound angle holes: adiabatic effectiveness", *Journal of Turbomachinery*, vol. 118, Pp. 807-813, 1996.
- [36] B. A. Haven, and M. Kurosaka, "Kidney and anti-kidney vortices in crossflow jets", *Journal of Fluid Mechanics*, vol. 352, Pp. 27-64, 1997.
- [37] D. K. Walters, and J. H. Leylek, "A detailed analysis of film-cooling physics: Part I– streamwise injection with cylindrical holes", *ASME Journal of Turbomachinery*, vol. 122, Pp. 102-112, 2000.
- [38] A. Kohli, and D. G. Bogard, "Turbulent transport in film cooling flows", *Journal of Heat Transfer*, vol. 127, Pp. 513-520, 2005.
- [39] T. F. Fric, A. Roshko, "Vortical structure in the wake of a transverse jet", *Journal of Fluid Mechanics*, vol. 279, Pp. 1-47, 1994.
- [40] F. Muldoon, and S. Acharya, "Numerical investigation of the dynamical behavior of a row of square jets in cross flow over a surface", ASME paper no. 99-GT-127, (1999).